

Prefabrike Betonarme Kolon Deneyleri

Araş. Gör. Serkan Z. YÜCE,
Araş. Gör. Kivanç TAŞKIN,
Y. Doç. Dr. Ercan YÜKSEL,
Prof. Dr. H. Faruk KARADOĞAN

İTÜ İnşaat Fakültesi
Yapı ve Deprem Mühendisliği Laboratuvarı
34469 Maslak - İstanbul

GİRİŞ

Çanak temellere yerleştirilmiş kare kesitli kolonlardan meydana gelen, kolon-kırış bağlantlarının moment aktarmadığı kabul edilen endüstri tipi prefabrike betonarme yapılar ülkemizde yaygın olarak kullanılmaktadır. Bu nedenle farklı kesit özelliklerine sahip 13 adet prefabrike kolon numunenin depremi benzetiren yükler etkisindeki davranışını deneyel olarak incelenmiştir.

Gerek prefabrike endüstri yapılarının gerekse yerinde dökme betonarme yapıların kolay uygulanabilir yöntemler ile ekonomik olarak güçlendirilmesi de önemli bir araştırma konusudur. Deprem etkisindeki davranışının yetersiz düzeyde olduğu saptanan bazı endüstri tipi yapıların güçlen-dirilmesi, özellikle yıkıcı bir deprem durumunda, endüstriyel üretimdeki sürekliliğin sağlanması açısından çok önemlidir. Bu çalışmada bölgelerin ince bir manto ile güçlendirme yolunun yeterliliği deneyel olarak incelenmiştir.

Deneysel İTÜ İnşaat Fakültesi Yapı ve Deprem Mühendisliği Laboratuvarında yapılmıştır. Öncelikle orijinal kolon numuneleri ve ardından onarılıp güçlendirilen ağır hasar görmüş numuneler sabit eksenel yük ve tersinir tekrarlı yatay

yerdeğiştirme çevrimleri etkisinde denenmiştir.

DENEY NUMUNELERİ

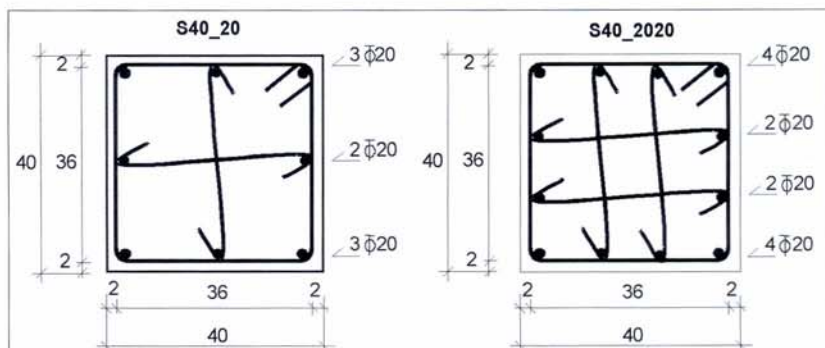
Prefabrike kolon numuneleri 1997 Türk Deprem Yönetmeliğine uygun olarak boyutlandırılmıştır. Kesit boyutları, boyuna donatı oranı, kolon-çanak temel birleşim tipi ve uygulanan yerdeğiştirme çevrimleri, seçilen parametreleri oluşturmaktadır. Denenen numunelere ait önemli özellikler Tablo 1 de verilmiştir.

Kolonların çanak üstünden itibaren serbest yükseklikleri 4 m dir. Boyuna ve enine donatı olarak kullanılan beton çeliği S420 dir. Enine donatı olarak tüm kolonların sarılma bölgelerinde $\phi 8/10$ cm, üç bölgelerinde ise $\phi 8/20$ cm etriye ve çiroz kullanılmıştır, (Şekil 1).

YÜKLEME VE ÖLÇÜM SİSTEMİ

Numuneler düzlem içinde yön değiştiren tekrarlı tepe yerdeğiştirmelerinin etkisinde bırakılmıştır. Eksenel kuvveti uygulamak için, X şeklinde bir çelik kırış ve dört adet çelik halat kullanılmıştır. Numunelere yatay yerdeğiştirme çevrimlerinin uygulanması için ± 250 kN yük, ± 300 mm yerdeğiştirme kapasiteli bilgisayar kontrollü bir hidrolik verenden yararlanılmıştır, (Şekil 2).

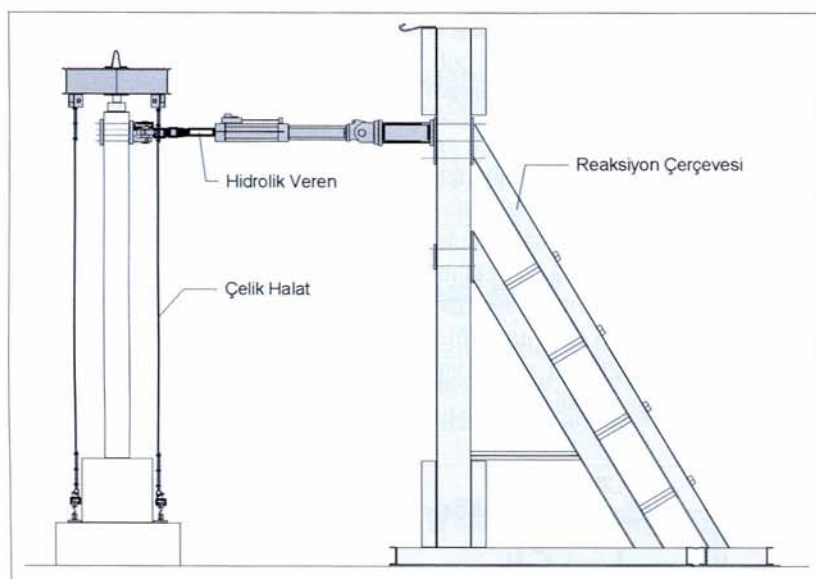
Numunelerin biri hariç hepsine büyüğen genliklerle tersinir tekrarlı yerdeğiştirme çevrimleri uygulanmıştır. Ancak bir numunede tek yönlü artan yüklemeye gidilmiştir. İki numunede ise, teorik bir ön çalışmaya dayanarak belirlenen, kaynağı yakın deprem etkisini temsil edebilecek simetrik olmayan



Şekil 1 S40_20 ve S40_2020 kolonlarının kesitleri

Tablo 1 Prefabrike kolon deneylerinde kullanılan numuneler

Numune	Kolon kesit boyutları	Ortalama beton silindir basınç dayanımı	Boyuna donatı	Boyuna donatı oranı	Çanak temel-kolon birleşim detayı
S30_14	30x30 cm	45.9 MPa	8 φ 14	0.014	Düz
S30_14M	30x30 cm	40.9 MPa	8 φ 14	0.014	Düz
S30_16	30x30 cm	44.2 MPa	8 φ 16	0.018	Düz
S30_18	30x30 cm	45.8 MPa	8 φ 18	0.023	Düz
S30_18Z	30x30 cm	44.0 MPa	8 φ 18	0.023	Dişli
S35_1416	35x35 cm	45.8 MPa	4 φ 14 + 4 φ 16	0.012	Düz
S35_18	35x35 cm	45.8 MPa	8 φ 18	0.017	Düz
S35_20	35x35 cm	45.8 MPa	8 φ 20	0.021	Düz
S35_20Z	35x35 cm	45.8 MPa	8 φ 20	0.021	Dişli
S40_16	40x40 cm	45.9 MPa	8 φ 16	0.010	Düz
S40_20	40x40 cm	45.9 MPa	8 φ 20	0.016	Düz
S40_2020	40x40 cm	45.9 MPa	12 φ 20	0.024	Düz
S40_2020Z	40x40 cm	45.9 MPa	12 φ 20	0.024	Dişli



Şekil 2 Yükleme sistemi ve numunenin yandan görünüşü

yerdeğiştirme çevrimleri kullanılmıştır.

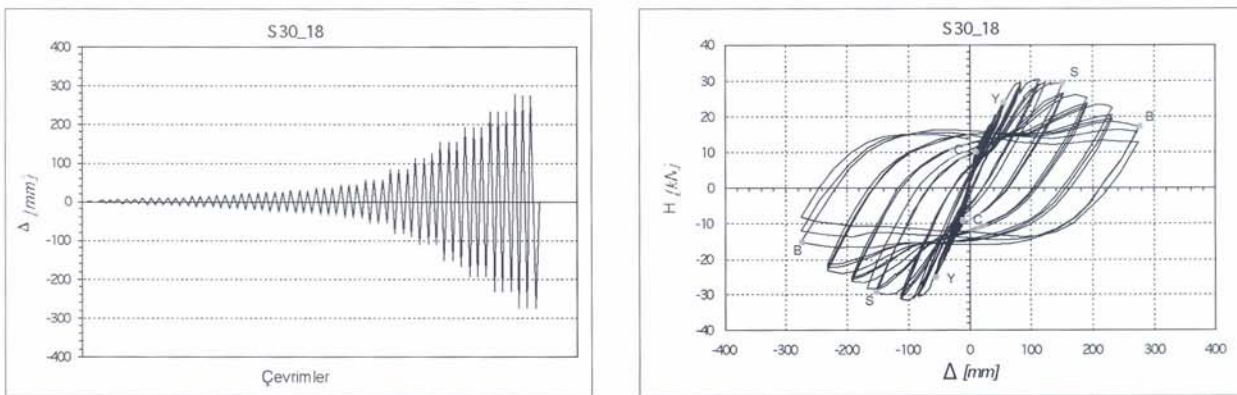
Numunelerin kritik kesitlerinde ortaya çıkan şekildeğiştirme ve

yerdeğiştirmeleri kaydetmek amacıyla çok sayıda şekildeğiştirme ölçer ve yerdeğiştirme ölçer kullanılmıştır. Deneyler sonucunda,

başa kolonların *yük-yerdeğiştirme* eğrileri ve kritik bazı kesitlerdeki *moment-eğrilik* ilişkileri olmak üzere çok sayıda grafik üretilmiştir.

ORİJİNAL PREFABRİKE KOLON DENEY SONUÇLARI

Orijinal numunelerde gözlenen hasar ve göçme biçimleri birbirine çok benzemektedir. İlk hasar yataya yakın eğilme çatlağıyla oluşmuş, genliği giderek büyüyen çevrimlerle bu çatlaqların sayı ve genişlikleri artmıştır. Ardından kolonun kritik taban bölgesinde kabuk betonu kabararak dökülmüş, boyuna donatılar açığa çıkararak burkulmuş, çekirdek betonu ezilmeye başlamıştır. Daha büyük yerdeğiştirmelere gidilmesi halinde önceki çevrimlerde burkulan boyuna donatıların çekme etkisi altında koptuğu gözlenmiştir. Deneylerde, kolon taban kesitinde oluşan plastik mafsal boyunun yaklaşık olarak kesit yüksekliği kadar olduğu gözlenmiştir.



Şekil 3 S30_18 numunesine uygulanan yerdeğiştirme çevrimleri ve elde edilen yük-yerdeğiştirme eğrileri



Şekil 4 S30_18 numunesine ait hasar fotoğrafları

S30_18 Numunesinin Davranışı

S30_18 numunesi yaklaşık 210 kN eksenel basınç kuvveti etkisinde denenmiştir. Numuneye uygulanan yerdeğiştirme çevrimleri ve elde edilen yük-yerdeğiştirme eğrileri Şekil 3'de örnek olmak üzere verilmiştir. Deneyin ileri aşamalarında gerçekleşen hasarı gösteren fotoğraflar da Şekil 4'te yer almaktadır.

İNCE MANTO KULLANARAK GÜÇLENDİRME VE SONUÇLARI

Dört adet kolona, hasarlı bölgede yapılan onarımın ardından,

kendiliğinden yerleşen özel beton kullanılarak 7.5 cm kalınlıklı dört taraflı betonarme manto uygulanmıştır, (Tablo 2).

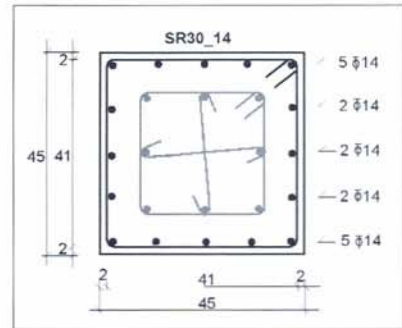
Mantolanmış kesitler içinde yaklaşık 0.01 oranında ilave boyuna donatı ve manto yüksekliğinde $\phi 8/5$ cm etriye kullanılmıştır, (Şekil 5). Endüstri binalarında çok sık karşılaşılan tesisat boruları kısıtlamaları nedeniyle, kolonlar toplam yüksekliğin 1/4 ve 1/2 sine kadar mantolanmışlardır. Betonarme manto ile kolonun birlikte çalışmasını sağlamak amacıyla donatı çubuğuundan

Tablo 2 Güçlendirilen numuneler

Numune	Manto yüksekliği	Manto boyuna donatısı
SR30_14	1 m	16 ϕ 14
SR30_14M	2 m	16 ϕ 14
SR30_16	2 m	12 ϕ 16
SR30_18	2 m	8 ϕ 18

yapılmış ankraj kamaları da kullanılmıştır, (Şekil 5).

Güçlendirilmiş numuneler, ilk denendikleri düzeyde eksenel kuvvet



Şekil 5. Güçlendirme aşamasındaki SR30_14 numunesi

etkisinde bırakılarak ve ilk deneylerdeki yanal yerdeğiştirme çevrimleri uygulanarak denenmişlerdir.

Gerçekleştirilen deneylerden, göçmüz sayılan ve ağır hasar görmüş kolonların dahi betonarme mantolama ile geri kazanılabilceği anlaşılmıştır. Güçlendirilmiş kolonların taşıma kapasitesi orijinal kolonların kapasitesinin 1.5~2 katına kadar çıkmıştır. Mantolama yüksekliği küçük tutulduğunda göçmenin manto seviyesinin üstünde oluşan plastik mafsalla gerçekleştiği; man-

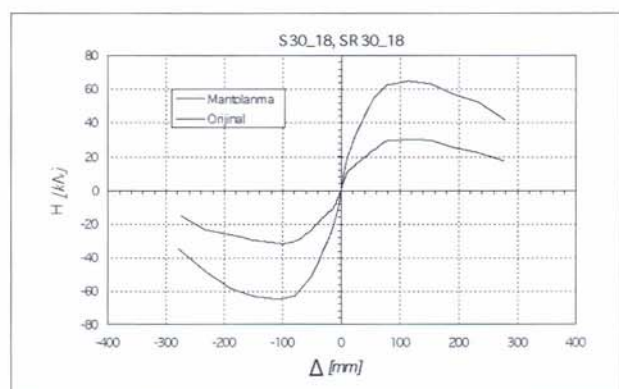
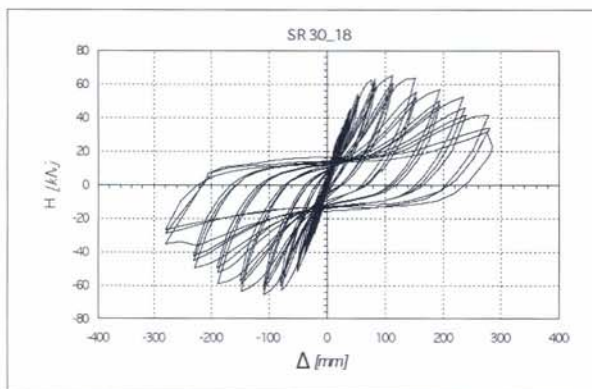
tolama kolon yarı yüksekliğine dek uygulandığında ise göçmenin çanaktan sökülmeye ile gerçekleştiği görülmüştür.

SR30_18 Numunesinin Davranışı

SR30_18 numunesi için yük-yerdeğiştirme eğrileri ile güçlendirme öncesi ve sonrası davranışı karşılaştırılan zarf eğrileri Şekil 6'da görülmektedir. Esas hasar mantonun çanağa birleştiği kısımda oluşmuştur. Çanak betonu ezilmiş, kırılmış ve donatılar açığa çıkmıştır, (Şekil 7).

SONUÇLAR

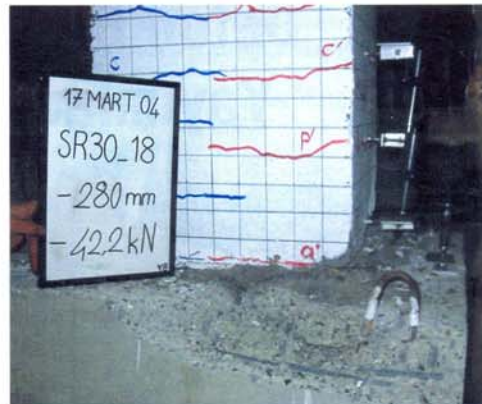
- Orijinal kolon deneylerinde, kolon-soket temel birleşim tipinin numune davranışında önemli bir farka sebep olmadığı anlaşılmıştır, (Şekil 8).
- Yine orijinal kolonlarda, hasarın yığıldığı bölgenin uzunluğunun bir başka ifade ile plastik mafsal boyunun yaklaşık kesit yüksekliği kadar olduğu gözlenmiştir, (Şekil 9).
- Güçlendirilen numuneler üzerinde gerçekleştirilen deneylerden, depremde ağır hasar görmüş kolon-



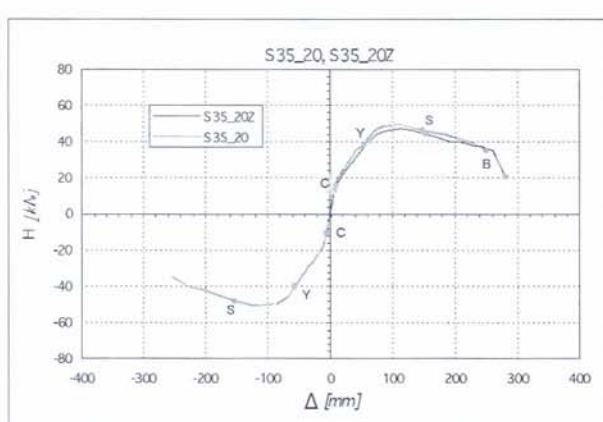
Şekil 6 SR30_18 numunesi yük-yerdeğiştirme eğrisi ile orijinal ve mantollanmış durumlara ait zarf eğrileri

ların bile betonarme mantolama ile geri kazanılabilceği anlaşılmıştır. Bölgesel mantolama ile mevcut prefabrik yapılarda göçmeye neden olabilecek büyük yatay yerdeğişirmelerin önlenebileceği ve böylelikle ikinci mertebe etkilerin azaltılabileceği görülmüştür.

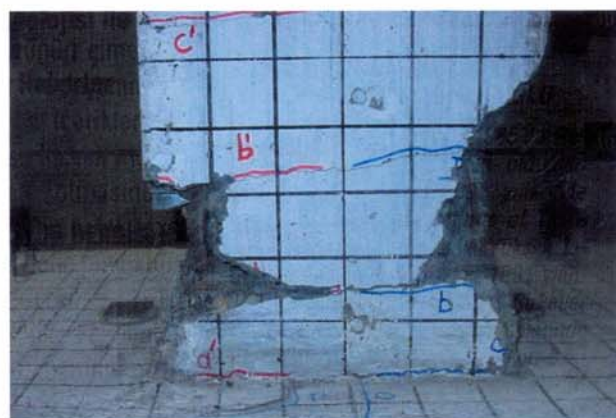
- Deprem yönetmeliğinde tanımlanan yerdeğiştirme sınırlarında, gerek orijinal gerekse güçlendirilmiş numunelerdeki hasarın çok sınırlı düzeyde olduğu görülmüştür, (Şekil 10).



Şekil 7 SR30_18 numunesine ait hasar fotoğrafları



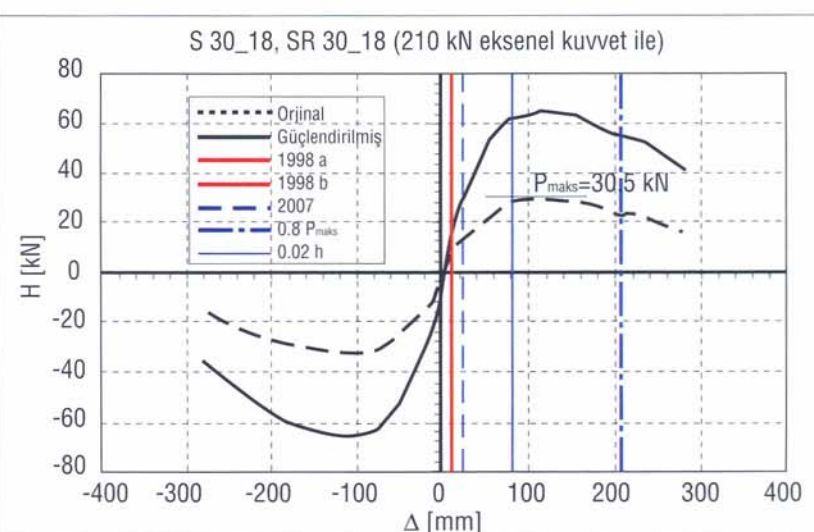
Şekil 8 S35_20, S35_20Z numuneleri için yük-yerdeğiştirme zarf eğrileri



Şekil 9 Plastik mafsal boyu

TEŞEKKÜRLER

Deneysel çalışmanın gerçekleştirildiği İTÜ İnşaat Fakültesi Yapı ve Deprem Mühendisliği Laboratuvarına, çalışmayı finanse eden Türkiye Prefabrik Birliği'ne ve güçlendirilmiş numunelerin hazırlanmasındaki katkısından dolayı da Lafarge Türkiye'ye teşekkür ederiz.



Şekil 10 Deney sonuçlarının yönetmeliğin yerdeğiştirme sınırları ile karşılaştırılması